

ارزیابی ساختار بافتی آبشش ماهی شانک زرد باله *Acanthopagrus latus* در طی مواجهه

کوتاه مدت با فناتنرن

مصطفی موسوی¹, نگین سلامات^{2*}, عبدالعالی موحدی نیا³, پروین خردمند⁴

چکیده

مطالعه حاضر با هدف بررسی تغییرات ساختار بافتی آبشش ماهی شانک زردباله (*Acanthopagrus latus*) در مواجهه با غلظت‌های مختلف فناتنرن تحت شرایط آزمایشگاهی به مدت 14 روز بانجام گرفت. بدین منظور، غلظت‌های مختلف فناتنرن (0، 2، 20، 40 و 70 میلی‌گرم بر کیلوگرم وزن بدن) به صورت درون صفاقی به ماهیان شانک زردباله تزریق شد. سپس نمونه‌های بافتی از آبشش 100 قطعه *A. latus* (5 نمونه/گروه/روز) جهت انجام مطالعات هیستولوژیک و هیستومتریک در روزهای 1، 3، 7 و 14 جدا شده و در محلول بافر فرمالین به مدت 48 ساعت ثبیت شدند. سپس نمونه‌ها با استفاده از روش‌های معمول بافت‌شناسی آماده سازی شدند. مقاطع بافتی به ضخامت 5-6 میکرومتر تهیه و با استفاده از رنگ آمیزی (DTC) (Degree of tissue changes) هماتوکسیلین و ائوزین رنگ آمیزی شدند. همچنین، درجه تغییرات بافتی (DTC) در نتیجه تغییرات بافتی آبشش ارزیابی سلامت اندام محاسبه شد. نتایج نشان داد که هیپرپلازی سلول‌های تیغه‌های آبششی و اتصال تیغه‌ها و جداشدن اپی‌تلیوم تیغه‌های آبششی از غشا پایه، عمدۀ ترین تغییرات بافتی آبشش ماهیان در مواجهه با فناتنرن بود. بیشترین مقدار DTC آبشش، در ماهیان تیمار شده با 70 mg/kg فناتنرن در روز هفتم نمونه برداری اندازه گیری شد. میانگین DTC این گروه نشانده‌نده آسیب بافتی متوسط تا شدید بود. حداقل میزان DTC در ماهیان تیمار شده با 2 mg/kg فناتنرن ثبت شد که نشانده‌نده مقاومت ماهیان به این مقدار از فناتنرن بود. بر اساس نتایج به نظر می‌رسد که ارتباط نزدیکی میان میزان تغییرات بافتی و غلظت آلاینده وجود دارد.

کلمات کلیدی: شانک زردباله، آبشش، فناتنرن

-1 دانشجوی کارشناسی ارشد، گروه زیست‌شناسی دریا، دانشکده علوم دریایی، دانشگاه علوم و فنون دریایی خرمشهر، خرمشهر، ایران.

-2 دانشیار، گروه زیست‌شناسی دریا، دانشکده علوم دریایی، دانشگاه علوم و فنون دریایی خرمشهر، خرمشهر، ایران.

-3 دانشیار، گروه زیست‌شناسی دریا، دانشکده علوم دریایی و اقیانوسی، دانشگاه مازندران، بابلسر، ایران.

-4 استادیار، گروه پاتولوژی، دانشگاه علوم پزشکی جندی شاپور اهواز، اهواز، ایران.

مقدمه

عموماً سوختهای فسیلی به ویژه نفت جزء منابع اصلی ورود هیدروکربن‌های چندحلقه‌ای آروماتیک (Polycyclic Aromatic Hydrocarbons) (PAH) به طبیعت محسوب می‌شوند و قابل ذکر است که حدود 0/3 تا 7 درصد وزن نفت خام را هیدروکربن‌های چندحلقه‌ای تشکیل می‌دهند (6). هیدروکربن‌های آروماتیک چند حلقه‌ای ترکیباتی آلی با 2 یا چند حلقه بنزنی و در بعضی مواقع حلقه‌های آروماتیک هستند. ترکیبات مختلفی از PAHs شناسایی شده است که در بین آن‌ها 16 ترکیب از اهمیت بیشتری برخوردار است که یکی از مشتقات آن‌ها فنانترن است. این ترکیب حتی در غلظت‌های کم هم به عنوان آلانینده مهم محیطی شناخته شده است و در طبقه‌بندی سازمان حفاظت محیطی آمریکا (EPA) به علت ویژگی‌های جهش‌زاپی و سلطان‌زاپی از آلانینده‌های سمی پرخطر محسوب می‌شود (3). اصولاً این ترکیبات از نظر شیمیایی کاملاً پایدار هستند و به خاطر حالت چربی دوستی به راحتی از غشاء زیستی عبور‌کرده، در اندام‌های جاندار تجمع می‌کنند (6).

خلیج فارس به عنوان منبع مهم اقتصادی و یکی از ذخیره‌گاههای ارزشمند نفت و گاز در جهان است و حدود 40٪ از ذخایر نفت و گاز جهان در این خلیج وجود دارد، به همین دلیل یکی از پرترددترین آبراههای جهان برای تانکرهای نفتی و غیرنفتی می‌باشد (15). در طی سالیان متتمادی این منطقه در معرض آلودگی شدید نفتی ناشی از تخلیه مواد نفتی به هنگام شیستشوی تانکرهای نفت‌کش، تخلیه آب توازن نفت‌کش‌ها، سکوهای بهره‌برداری از چاههای نفت و سوانحی مانند برخورد و تصادف کشتی‌های نفت‌کش و انهدام و آتش‌سوزی سکوهای نفتی قرار گرفته و آلودگی آن بر سلامت آبزیان منطقه تاثیر قابل توجهی داشته است (15).

ماهی شانک زردباله با نام علمی *Acanthopagrus latus* و نام انگلیسی Yellowfin Seabream از

در مقایسه با سمشناسی پستانداران، سمشناسی آبزیان حوزه بسیار جدیدتری بوده و تنها اخیراً به‌طور قابل ملاحظه‌ای مورد توجه قرار گرفته است. پس از دهه 1980، پژوهشگرانی که در زمینه سمشناسی آبزیان تحقیق می‌کردند توجه خود را از پاسخ‌های کلی موجودات زنده، به پاسخ‌هایی که در سطح سلولی یا بافت‌های موجود بیان می‌شد، معطوف داشتند. این موضوع منجر به افزایش اطلاعات در نتیجه استفاده از خون‌شناسی، بافت‌شناسی، هیستوشیمی، متabolیسم، فارماکوکینتیک و نیز پارامترهای فیزیولوژیکی یا بیوشیمیایی به منظور اندازه‌گیری میزان سمیت، شد (2). قرار گرفتن در معرض غلظت‌های تحت حاد آلانینده‌های محیطی ممکن است باعث تغییر ساختار سلول‌ها و ایجاد آسیب‌های بافتی شود که منجر به ایجاد تغییرات قابل ملاحظه‌ای در عملکرد بافت‌ها و اندام‌ها می‌شوند. مزیت استفاده از تغییرات بافتی به عنوان یک بیومارکر این است که به محققین فرصت مناسبی را جهت بررسی اندام‌ها و سلول‌های هدف ویژه که تحت تاثیر مواد شیمیایی محیطی قرار گرفته‌اند، می‌دهد (2).

در اکثر ماهیان آبیش اندام اصلی تنفس و تبادل گازهای تنفسی می‌باشد، اگرچه با وجود آبیش اندام‌های دیگری نیز در امر تنفس به ماهی کمک می‌کند (9). اپیتیلیوم آبیش ماهی وظیفه انتشار اکسیژن، تعادل اسید- باز، تنظیم یونی، دفع مواد زائد حاصل از سوخت و ساز برخی هورمون‌ها و تنظیم اسمزی را انجام می‌دهد (22). آبیش‌ها به دلیل ارتباط مستقیم با محیط‌آبی، در معرض مستقیم پاتوژن‌ها بوده و بنابراین به عنوان اولین اندام هدف آنها محسوب می‌شوند. تاثیر عوامل آسیب‌رسان بر این اندام باعث تغییرات در ساختار و عملکرد آن می‌شود (19). مطالعات متعددی، تغییرات بافتی شدیدی در آبیش ماهیانی که در معرض آلانینده‌های مختلف قرار گرفته بودند، را گزارش کرده‌اند (8، 18، 19).

بررسی تغییرات هیستولوژیک و هیستومتریک آبشش ماهی شانک زرد باله در معرض فنا遁رن و امکان استفاده از این تغییرات بعنوان شاخص زیستی (بیومارکر) بود. در این راستا درجه تغییرات بافتی (Degree of tissue changes DTC) آبشش در ماهی شانک زرد باله در مواجهه با غلظت‌های مختلف فنا遁رن، تعیین شد.

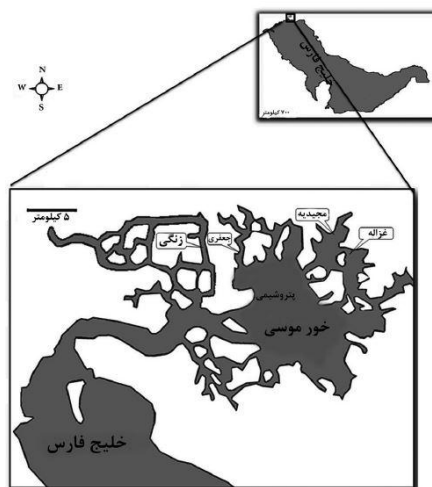
خانواده Sparidae و از گونه‌های مهم و تجاری خلیج فارس و دریای عمان محسوب می‌شود که بسیار خوش خوراک بوده و دارای میزان صید بالایی است (۱). لذا با توجه به اهمیت اکولوژیکی این گونه، در مطالعه حاضر با قرار دادن ماهی شانک زرد باله در معرض غلظت‌های متفاوت فنا遁رن، اثرات توکسیک این آلاینده نفتی بر آبشش این ماهی بررسی شد. هدف از مطالعه حاضر

مواد و روش‌ها

تهیه و نگه داری ماهیان

ماهیان 7 روز و طول مدت قرار دادن در معرض فنا遁رن 14 روز بود. پس از طی دوره سازگاری، ماهیان موجود در تانک‌های اول تا چهارم به عنوان تیمارهای 1، 2، 3 و 4 در نظر گرفته شده، به ترتیب غلظت‌های 20، 40 و 70 میلی‌گرم بر کیلوگرم وزن بدن، از فنا遁رن به آن‌ها تزریق شد. برای انجام تزریق پس از بیهوشی ماهیان با عصاره گل میخک، بدن آن‌ها با یک پارچه تمیز به آرامی خشک شده و سپس فنا遁رن حل شده در 10 میکرولیتر بر گرم وزن بدن روغن نارگیل (به عنوان حللال فنا遁رن) به صورت درون صفاقی به آن‌ها تزریق گردید. ماهیان تانک 5 (شاهد حللال) فقط با روغن نارگیل تزریق شدند (جهت ارزیابی اثرات احتمالی روغن نارگیل). ماهیان تانک 6 (شاهد) نیز تزریقی دریافت ننمودند.

جهت انجام تحقیق حاضر، 100 قطعه ماهی شانک زرد باله (همگی نرهای نابالغ) (با میانگین طول $15/78 \pm 81/11 \pm 12/1$ سانتیمتر و وزن متوسط بدن 4000 گرم) در دی ماه 1394 از خور زنگی (از انشعبات خورموسی) واقع در استان خوزستان (شکل 1) تهیه گردید و به صورت زنده به آزمایشگاه منتقل شدند. در آزمایشگاه ماهیان در تانک‌های 6000 لیتری محتوی آب دریایی فیلتر شده با اشعه ماوراء بنفس (UV) در سوله پوشیده شده نگه داری شدند. جهت انجام پروژه، 6 تانک 300 لیتری (4 دوز فنا遁رن، روغن نارگیل و شاهد) با آب فیلتر شده و هوادهی شده دریا پر شده و 20 قطعه ماهی شانک زرد باله نر منتقل گردید. تعویض حجم آب، هر دو روز یک بار از کف از طریق سیفون کردن، انجام شد. دوره سازگاری (برای پیشگیری از اثرات احتمالی ناشی از استرس جابجایی بر بافت



شکل 1. موقعیت جغرافیایی محل صید ماهی شانک زرد باله (خورزنگی)

تهیه نمونه‌های بافتی از ماهیان

پایینی کمان جدا شده و با ذکر شماره تیمار، درون ظروف شیشه‌ای درب‌دار مجزا و حاوی محلول ثبوت فرمالین 15٪ قرار داده می‌شد. جهت مطالعات بافت‌شناسی، قطعه‌ای از بخش میانی کمان دوم آبشش سمت راست هر ماهی مورد بررسی قرار گرفت.

در روزهای 1، 3، 7 و 14 آزمایش از هر تانک 4 عدد ماهی را به طور تصادفی و به وسیله تور دستی خارج نموده و پس از بیهوش کردن با عصاره گل میخک، آب اضافی از سطح بدن آن‌ها به وسیله حوله نرم گرفته شد. پس از برداشتن درپوش آبششی (اوپرکول) ابتدا با احتیاط، کمان‌های آبششی با قطع قسمت بالایی و

تهیه مقاطع بافتی

درصد) انجام شده و در ادامه نمونه‌های بافتی برای شفاف‌سازی به گزیل و سپس جهت پارافینه شدن به ظروف پارافین منتقل شدند. بافت‌ها سپس با استفاده از پارافین درون قالب‌های آلومینیومی لوکهارت قالب‌گیری شدند. با استفاده از دستگاه روتاری میکروتوم (مدل Leica-2245) از قالب‌های پارافینه، برش‌هایی با ضخامت 5 میکرومتر تهیه و جهت رنگ‌آمیزی بر روی اسلایدهای شیشه‌ای قرار گرفتند. مقاطع بافتی سپس با

نمونه‌های برداشته شده از بافت‌های مختلف پس از 48 از محلول ثبوت فرمالین 15٪ خارج شده و به مدت 1 هفته در اتانول 70 درصد قرار داده شدند. سپس سایر مراحل پاساژ بافتی با استفاده از دستگاه اتوتکنیکون RX- 11B, Tissue tek (مدل هیستوکینت) (rotary, Japan) تحت برنامه زمان‌بندی شده انجام گرفت. به این ترتیب که آب‌گیری بافت‌های تثبیت شده توسط سری‌های افزایشی اتانول (70، 80، 90، 100

توسط دوربین نصب شده روی میکروسکوپ Dionolite Digital Microscope شد. از هر یک از تیمارها در هر روز نمونه برداری، 4 قطعه ماهی و از هر ماهی 3 اسلاید مطالعه گردید.

استفاده از رنگآمیزی هماتوکسیلین و ائوزین (H&E)، رنگآمیزی شدن. در نهایت، مقاطع بافتی رنگآمیزی شده، با استفاده از میکروسکوپ نوری Olympus و با بزرگ نمایی‌های متفاوت بررسی و تصاویر مناسب

تعیین درجه تغییرات بافتی (DTC)

متوجه شامل تغییراتی هستند که شدیدتر بوده و عملکرد طبیعی بافت را متاثر می‌کنند. این تغییرات اگرچه برگشت‌پذیر هستند، اما اگر محدوده وسیعی از بافت را درگیر کرده باشند و یا اینکه شرایط آلودگی محیط همچنان ثابت باقی بماند، می‌توانند به تغییرات شدیدی منجر شوند. ۳: تغییرات بافتی شدید شامل تغییراتی هستند که ترمیم آن‌ها حتی در صورت بهبود شرایط محیطی، امکان‌پذیر نیست.

به منظور ارزیابی تغییرات بافتی مشاهده شده در آبیش ماهیان، این تغییرات بر اساس رده‌بندی انجام شده توسط Mitrovic-Tutundzic و Poleksic (1994)، از درجه صفر تا سه دسته بندی شدند (20): ۰: هیچ‌گونه تغییرات بافتی صورت نگرفته است. ۱: تغییرات بافتی اندک شامل تغییراتی هستند که قابل بازسازی و ترمیم بوده و بافت عملکرد طبیعی خود را با بهبود شرایط محیطی باز می‌یابد. این تغییرات محدود به بخش‌های کوچکی از بافت هستند. ۲: تغییرات بافتی

فرمول زیر جهت تعیین DTC هر بافت استفاده می‌شود (20):

$$DTC = (1 \times SI) + (10 \times SII) + (100 \times SIII)$$

در این فرمول، I، II و III مراحل تغییرات بافتی و S به تعداد تغییرات بافتی هر مرحله را نشان می‌دهد. مقدار DTC بین ۰ تا 10 نشان‌دهنده عملکرد طبیعی اندام، بین 11 تا 20 نشان‌دهنده آسیب اندک به اندام موردنظر، بین 21 تا 50 نشان‌دهنده آسیب متوسط اندام، بین 51 تا 100 نشان‌دهنده آسیب شدید اندام و بیشتر از 100 نشان‌دهنده آسیب برگشت ناپذیر اندام می‌باشد (20).

پردازش داده‌ها و رسم نمودارها

بررسی شد. برای داده‌های غیرنرمال، از آزمون ناپارامتری آنالیز کروسکال-والیس و اختلافات جزئی از طریق آزمون من-ویتنی استفاده شد. کلیه آزمون‌ها با استفاده از نرم‌افزار SPSS 16.0 انجام شد. رسم نمودار در محیط برنامه Microsoft Office Excel

نتایج به صورت میانگین \pm انحراف معیار بیان شدند. نرمال بودن داده‌ها از طریق آزمون شاپیرو-ولیک بررسی گردید. برای مقایسه میانگین‌ها در غلظت‌ها و روزهای مختلف از آزمون تحلیل واریانس یک‌طرفه استفاده شد. وجود یا عدم وجود اختلاف معنی‌دار میان گروه‌های مختلف، با استفاده از پس آزمون توکی

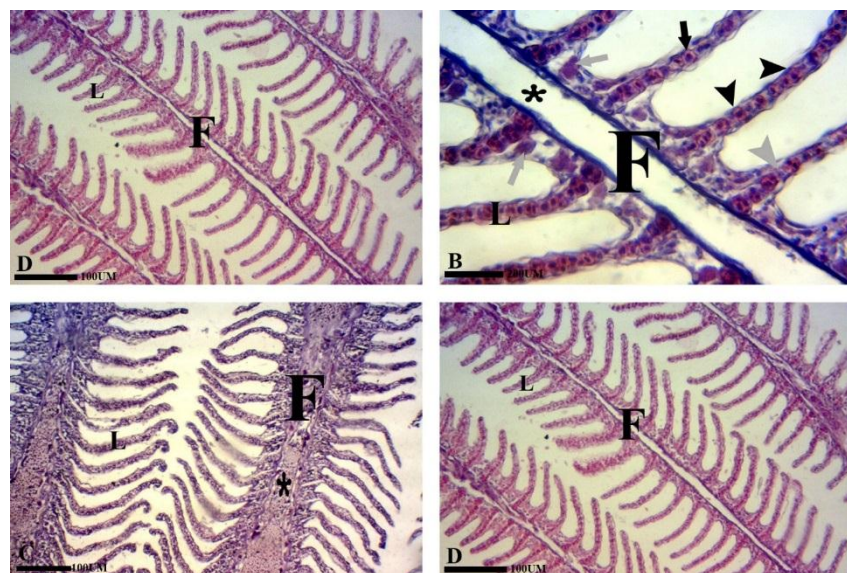
SPSS صورت گرفت.

2010 با استفاده از داده‌های مستخرج از برنامه

نتایج

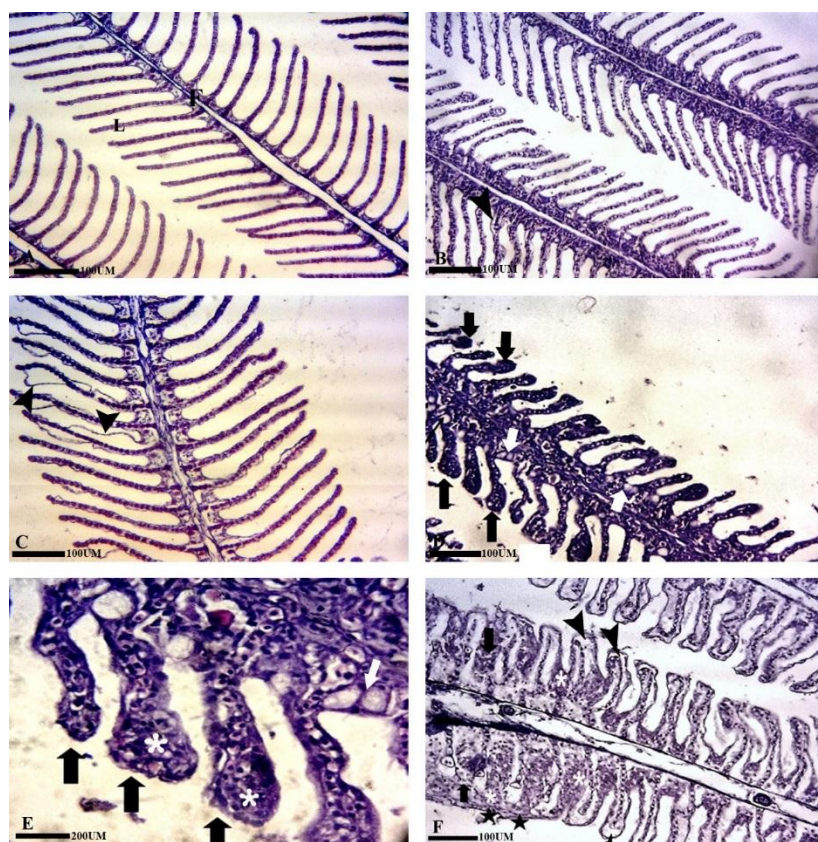
رشته آبشنی قرار گرفته بود. بافت پوششی آبشن در متشكل از انواعی از سلول‌ها شامل سلول‌های غنی از میتوکندری (کلراید)، موکوسی، سنگفرشی و ستونی بود (شکل 2).

در روز اول نمونه‌برداری در هیچ تیماری ضایعه‌ای مشاهده نشد (شکل 2). در هر کمان آبشنی تعداد فراوانی رشته‌های آبشنی وجود داشت که بر روی هریک از رشته‌ها، تیغه‌های آبشنی به طور قرینه و عمود بر



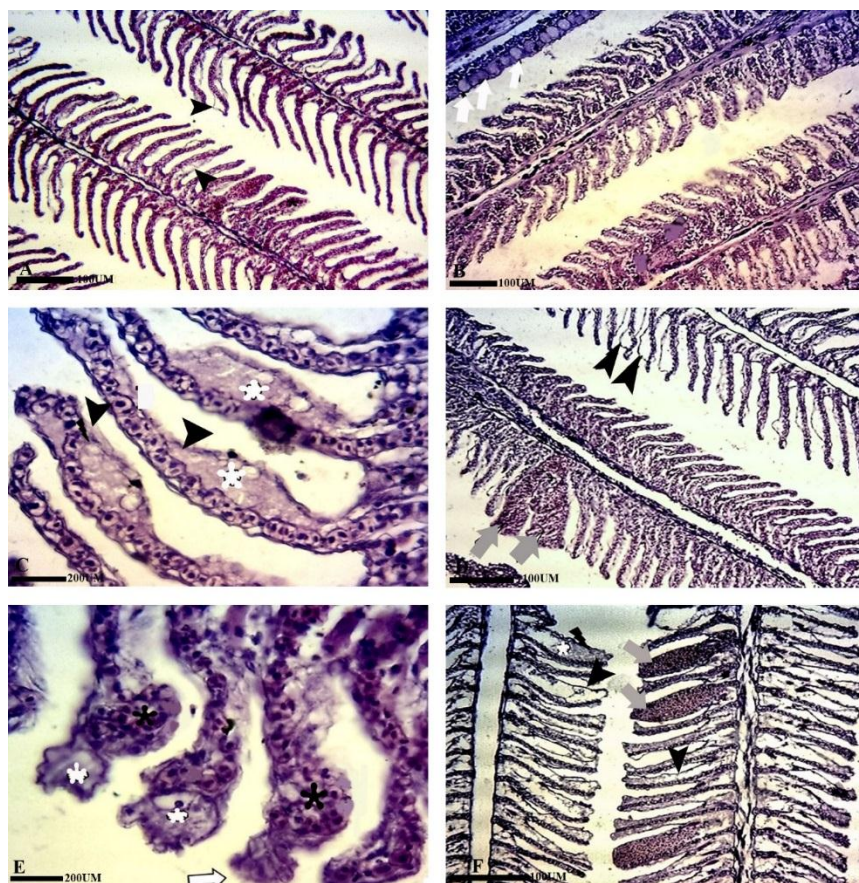
شکل 2. تصاویر میکروسکوپ نوری آبشن ماهیان شانک زرد باله تیمار شده با غلظت‌های مختلف فناutron در روز اول نمونه‌برداری، A. تیمار 1، B. تیمار 2، C. تیمار 3، D. تیمار 4: رشته‌های آبشنی (F)، تیغه‌های آبشنی (L)، سلول‌های کلراید (پیکان خاکستری)، سلول‌های ستونی (راس پیکان خاکستری)، سلول‌های سنگفرشی (راس پیکان سیاه)، مویرگ تیغه آبشنی حاوی سلول خونی (پیکان سیاه)، شریان رشته آبشنی (ستاره سیاه): (H&E; $\times 2900$) B (H&E; $\times 725$) D,C,A (H&E; $\times 725$) B (H&E; $\times 2900$) D.

در آبشن ماهیان تیمار 1 (دز 2 mg/kg 2 فناutron) در روز سوم نمونه‌برداری ضایعه‌ای مشاهده نشد. ضایعات آبشن ماهیان تیمار 2 (دز 20 mg/kg 2 فناutron) شامل چماقی شدن تیغه‌های ثانویه و جداسدن اپیتلیوم از غشا پایه بود. در آبشن ماهیان تیمار 3 (دز 40 mg/kg 4 فناutron) چماقی شدن تیغه‌های ثانویه، افزایش سلول‌های موکوسی، اتصال تیغه‌های آبشنی و هیپرپلازی سلول‌های تیغه‌های آبشنی دیده شد. در آبشن ماهیان تیمار 4 (دز 70 mg/kg 7 فناutron) اتساع مویرگ تیغه‌ای نیز مشاهده گردید (شکل 3).



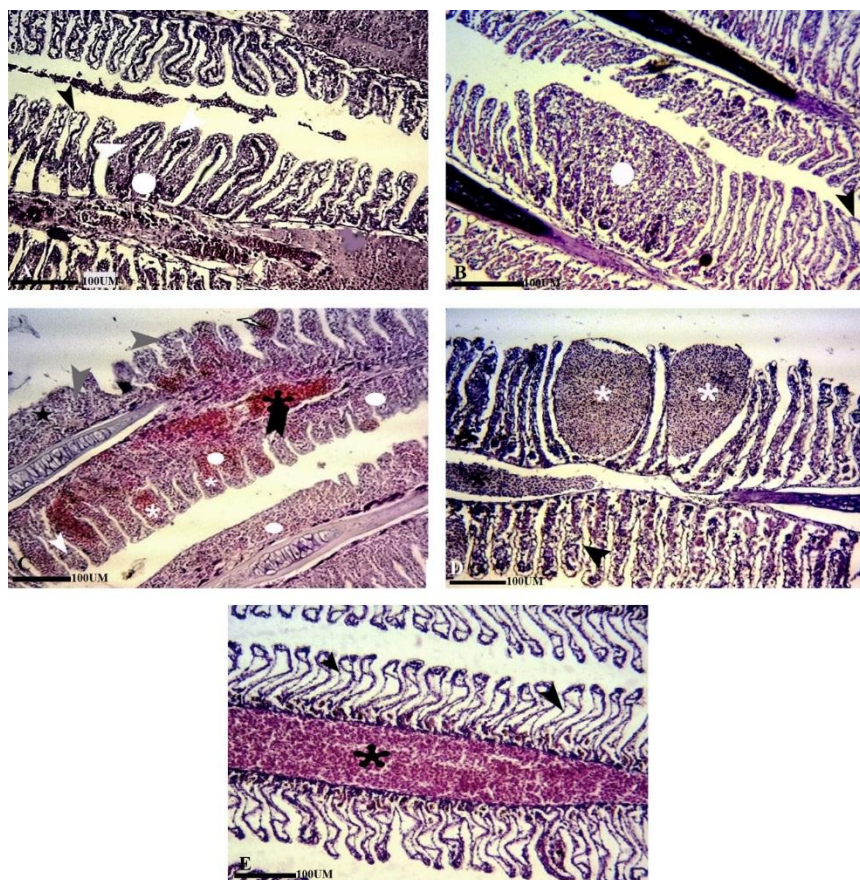
شکل 3. تصاویر میکروسکوپ نوری آبیش ماهیان شانک زرد باله تیمار شده با غلظت های مختلف فناوری در روز سوم نمونه برداری: A تیمار 1، B و C تیمار 2، D و E تیمار 3، F تیمار 4؛ تیغه آبیشی (F)، رشتہ آبیشی (L)، جدا شدن اپیتلیوم آبیشی (راس پیکان سیاه)، چماقی شدن تیغه های آبیشی (پیکان سیاه)، افزایش تعداد سلول های موکوسی (پیکان سفید)، هیپرپلازی سلول های پوششی تیغه ها (ستاره سفید)، چسبندگی تیغه های آبیشی (ستاره سیاه). A, B, C, D, E (H&E; $\times 725$) و F (H&E; $\times 2900$).

ضایعات مشاهده شده در آبیش ماهیان تیمار 1 در روز هفتم نمونه برداری شامل جداشدن اپیتلیوم از غشا پایه، چماقی شدن راس تیغه ها، هیپرپلازی و هیپرتروفی سلول های پوششی تیغه های آبیشی بود و در تیمار 2 افزایش تعداد سلول های موکوسی، اتصال تیغه ها، اتساع مویرگ تیغه های و فضای ادماتوز نیز مشاهده گردید. آنوریسم، جداشدن اپیتلیوم از غشا پایه، هیپرتروفی سلول های پوششی تیغه ها، تلانزیکتازی، خونریزی و چماقی شدن راس تیغه ها از جمله آسیب های بافت آبیش ماهیان تیمار 3 در روز هفتم نمونه برداری بودند. همچین تغییرات بافتی آبیش ماهیان تیمار 4 شامل آنوریسم، فضای ادماتوز و جداشدن اپیتلیوم از غشا پایه، اتصال تیغه ها و هیپرپلازی سلول های پوششی تیغه ها بود (شکل 4).



شکل 4. تصاویر میکروسکوپ نوری آبشن ماهیان شانک زرد باله تیمار شده با غلظت های مختلف فناوری در روز هفتم نمونه برداری:
A. تیمار 1، B و C. تیمار 2، D و E. تیمار 3، F. تیمار 4؛ فضای ادماتوزه (ستاره سفید)، جدا شدن اپیتلیوم از غشا پایه تیغه های ثانویه (راس پیکان سیاه)، تلانژیکتازی (ستاره سیاه)، افزایش تعداد سلول های موکوسی (پیکان سفید)، آنوریسم (پیکان خاکستری)، چماقی شدن راس تیغه ها (پیکان سفید). (H&E; $\times 2900$) C, E و (H&E; $\times 725$) F, D, B, A.

در روز چهاردهم نمونه برداری آسیب هاب بافتی نظری هیپرپلازی سلول های پوششی تیغه های ثانویه و اتصال تیغه های ثانویه، چماقی شدن راس تیغه های ثانویه و تلانژیکتازی در آبشن ماهیان تیمار شده مشاهده گردید. علاوه بر این، ضایعات بافتی نظری اتساع شریان رشته ای، آنوریسم و نفوذ لوکوسیتی نیز در تیمار های 3 و 4 دیده شد (شکل 5).

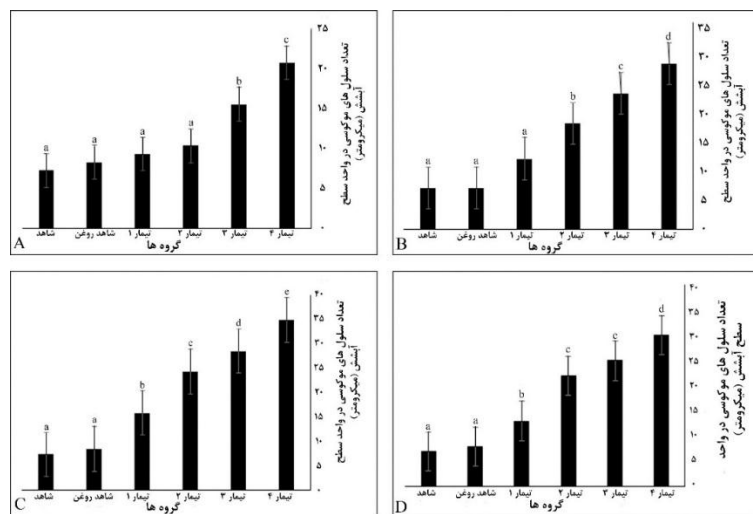


شکل 5. تصاویر میکروسکوپ نوری آبشن ماهیان شانک زرد باله تیمار شده با غلظت های مختلف فنانترن در روز چهاردهم نمونه برداری: A. تیمار 1، B. تیمار 2، C. تیمار 3، D و E. تیمار 4؛ هیپرپلازی سلول های پوششی تیغه های ثانویه (راس پیکان سفید)، اتصال تیغه های ثانویه (دایره سفید)، جدا شدن اپی تلیوم از غشا پایه تیغه های ثانویه (راس پیکان سیاه)، نفوذ لوکوسیتی (راس پیکان خاکستری)، اتساع و پرخونی شریان رشته آبشنی (ستاره سیاه)، آنوریسم (ستاره سفید)، آنوریسم (ستاره سفید)، آنوریسم (ستاره سفید). (H&E; $\times 725$) (E,D,C, B,A).

نتایج مطالعه هیستومتریک آبشن

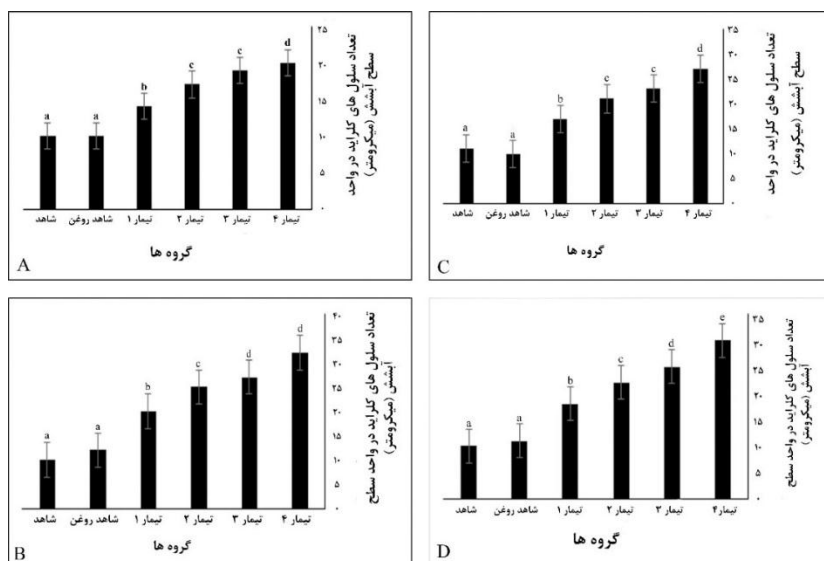
دیده نشد ($P > 0.05$), ولی، سایر تیمارها با شاهد دارای اختلاف معنی داری بودند ($P < 0.05$). شکل 6. مقایسه تیمارها در روز هفتم نشان داد که از لحاظ تعداد سلول های موکوسی بین تمامی تیمارها و شاهد اختلاف معنی داری وجود دارد ($P < 0.05$). در روز چهاردهم نیز اختلاف معنی داری در تعداد سلول های موکوسی میان تیمارها مشاهده شد ($P < 0.05$). البته، تفاوت معنی داری میان تیمارهای 2 و 3 وجود نداشت ($P < 0.05$). شکل 6.

نتایج نشان داد که تعداد سلول های موکوسی در پایه تیغه های آبشنی تیمار 1 (دز 2 mg/kg 2 فنانترن) و تیمار 2 (دز 20 mg/kg 20 فنانترن) در روز اول نمونه برداری اختلاف معنی داری با تیمارهای شاهد نداشتند ($P > 0.05$). از طرفی بیشترین تعداد این سلول ها در این روز در تیمار 4 (دز 70 mg/kg 70 فنانترن) مشاهده شد که به طور معنی داری بیشتر از سایر تیمارها بود ($P < 0.05$). شکل 6. در روز سوم اختلاف معنی داری در تعداد سلول های موکوسی بین تیمار 1، شاهد و روغن



شکل 6. مقایسه تعداد سلول‌های موکوسی در واحد سطح (میکرومتر) آبشش ماهیان شانک زرد باله تیمار شده با غلظت‌های متفاوت فنانtron در روز‌های مختلف نمونه برداری: A. روز اول نمونه برداری، B. روز سوم نمونه برداری، C. روز هفتم نمونه برداری و D. روز چهاردهم نمونه برداری (حروف مختلف نشان‌دهنده وجود اختلاف معنی دار می‌باشد).

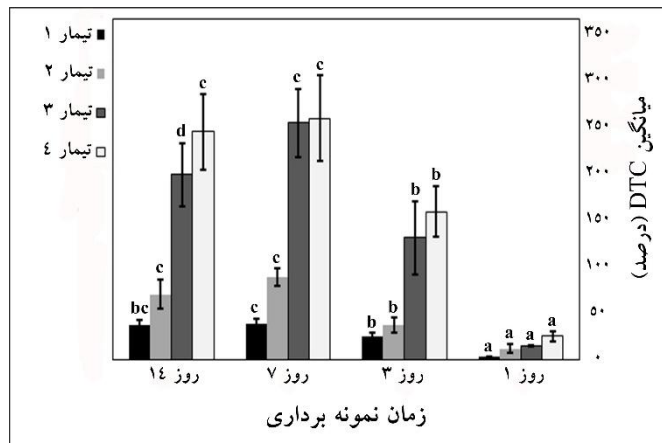
با توجه به شکل 7 در روز‌های مختلف نمونه برداری، از لحاظ تعداد سلول‌های کلراید میان ماهیان تیمار شده با غلظت‌های مختلف فنانtron و شاهد اختلاف معنی‌داری وجود داشت ($P < 0.05$) و تعداد این سلول‌ها تا روز چهاردهم نمونه برداری در تمامی تیمارها افزایش یافت هر چند در برخی از تیمارها این افزایش تعداد، معنی دار نبود.



شکل 7. مقایسه تعداد سلول‌های کلراید در واحد سطح (میکرومتر) آبشش ماهیان شانک زرد باله تیمار شده با غلظت‌های متفاوت فنانtron در روز‌های مختلف نمونه برداری: A. روز اول نمونه برداری، B. روز سوم نمونه برداری، C. روز هفتم نمونه برداری و D. روز چهاردهم نمونه برداری (حروف مختلف نشان‌دهنده وجود اختلاف معنی دار می‌باشد).

ارزیابی درجه تغییرات بافتی (DTC)

تغییرات بافتی آبشش ماهی شانک زرد باله تیمار شده با غلظت‌های مختلف فناوری‌های بر اساس طبقه بندی انجام شده توسط Mitrovic-Tutundzic و Poleksic (1994) ارزیابی شد. بر این اساس، بیشترین و کمترین مقدار DTC به ترتیب در ماهیان تیمار شده با 70 mg/kg در روز هفتم نمونه برداری و ماهیان تیمار شده با 2 mg/kg فناوری در روز اول نمونه برداری ثبت شد (شکل 8).



شکل 8. میانگین درجه تغییرات بافتی آبشش ماهی شانک زرد باله در مواجهه با غلظت‌های مختلف فناوری‌های مختلف نمونه برداری (حروف مختلف نشان‌دهنده وجود اختلاف معنی‌دار می‌باشد).

بحث

آسیب در عملکرد تنفسی و تنظیم اسمزی آبشش منتهی می‌شود (4). بنابراین از نظر Giari و همکاران (2007)، احتمالاً این ضایعات، پاسخ‌هایی فیزیولوژیک به استرس ایجاد شده باشند تا پاسخ‌هایی منحصر به فرد به آلاینده یا سمی خاص (11). تغییرات بافتی مذکور، مثال‌هایی از مکانیسم‌های حمایتی می‌باشند که معمولاً منجر به افزایش فاصله میان آب و خون شده تا به عنوان سدی در برابر ورود آلاینده‌ها عمل کند (20). ورود آلاینده‌ها باعث القاء تغییرات دُزِنراتیو و نکروز اپی‌تلیوم رشته‌های آبششی و تیغه‌های ثانویه به همراه اتساع رگ‌های خونی رشته‌های آبششی شده و نهایتاً به تخریب غشا سلولی می‌انجامد (4). با این رفتن غشا سلولی ناحیه سطحی تیغه آبششی کم شده، متعاقب آن تبادل گاز و تنظیم یونی کاهش می‌یابد. این

تحقیقات Wood (2001) و Mallat (1985) یافته‌های قابل توجهی را در ارتباط با تغییرات ساختاری آبشش ماهیان در پاسخ به آلاینده‌ها و سوم مختلف عرضه نمود (16، 23). بر اساس یافته‌های این محققین و سایرین، بسیاری از تغییرات هیستوپاتولوژیک آبشش غالباً اختصاصی نبوده و محدوده وسیعی از آلاینده‌ها قادر به ایجاد ضایعات مشابه می‌باشند. هیپرپلازی اپی‌تلیوم به همراه چسبیدن تیغه‌های آبششی، تلانژیکتازی، ادم به همراه برآمدگی و حتی کنده شدن اپی‌تلیوم تیغه‌ها، که در تحقیق حاضر نیز مشاهده شد، آسیب‌های هیستوپاتولوژیک معمول آبشش‌ها در پاسخ به دامنه وسیعی از آلاینده‌ها شامل ارگانوکلرین‌ها، ترکیبات نفت خام، کربامات‌ها آفت‌کش‌ها و فلزات سنگین بوده (7، 10، 12) که به

(2003) گزارش دادند که عوارضی نظیر برآمدگی اپیتیلیوم تیغه‌های ثانویه، هیپرپلازی و هیپرتروفی سلول‌های اپیتیلیوم، به هم چسبیدن نسبی تیغه‌های ثانویه از جمله مکانیسم‌های دفاعی‌اند، که نتیجه آن افزایش فاصله بین محیط خارج و خون جهت ایجاد سد دفاعی جهت جلوگیری از ورود آلاینده‌ها می‌باشد (10). در تحقیق حاضر، به نظر می‌رسد، تغییرات بافتی آبشنش ماهیان در مواجهه با فناوری به منظور سازگاری ماهی با حضور آلاینده و جلوگیری از ورود بیشتر Oliviera Riberio و همکاران (2005) عوارضی نظیر هیپرپلازی و هیپرتروفی، آنوریسم و به هم چسبیدن تیغه‌های ثانویه را در آبشنش مار ماهی اروپایی پس از تیمار با آلاینده‌هایی نظیر آفت‌کش‌ها، فلزات سنگین و هیدرکربن‌های نفتی مشاهده کردند. همچنین، Camargo Martinez (2007) ضایعاتی نظیر برآمدگی بافت پوششی و چسبندگی تیغه‌ها در ماهی معرض پساب‌های آلوده شهری و صنعتی قرار گرفته بود، گزارش نمودند (5). در تحقیق حاضر نیز چسبندگی تیغه‌ها مشاهده شد. Rastgar و همکاران (2015) در بررسی اثر استرس بنزوآلفاپایرن بر آبشنش ماهی شانک زردباله بیشترین عوارض مشاهده شده را برآمدگی و هیپرپلازی اپیتیلیوم تیغه ثانویه، به هم چسبیدن تیغه‌های ثانویه، ادم، اتساع مویرگ‌های تیغه، هیپرتروفی سلول‌های اپیتیلیومی و خون‌ریزی گزارش نمودند (21). در تحقیق حاضر نیز این ضایعات عمده ترین تغییرات مشاهده شده بودند. ضایعاتی نظیر افزایش تعداد سلول‌های موکوسی و کلرايد در آبشنش ماهیان، در تحقیقات متعددی که در ارتباط با تاثیر آلاینده‌ها بر آبشنش صورت گرفته، گزارش شده است (4, 11, 14).

در نمونه‌های شانک زردباله در تحقیق حاضر در مواجهه با فناوری، تعداد سلول‌های کلرايد و سلول‌های موکوسی در مقایسه با نمونه‌های شاهد، افزایش یافتند.

امر یک پاسخ تطبیقی جهت جلوگیری از ورود آلاینده‌ها در سطح آبشنش است و یک واکنش پاتولوژیکی نسبت به جذب مواد سمی محسوب می‌شود. Rastgar و همکاران (2015) نیز در مطالعه اثر بنزوآلفاپایرن بر آبشنش ماهی شانک زردباله نیز دژنراتیو و نکروز اپیتیلیوم رشته‌های آبشنش را مشاهده نمودند (21) Hibiya (1995) بیان نمودند که بخش مهمی از عوارض آبشنش ناشی از آسیب به سلول‌های پیلار، در اثر افزایش جریان خون به درون تیغه‌های ثانویه می‌باشد، که سبب آسیب به مویرگ‌های تیغه ثانویه و وقوع خون‌مردگی یا آنوریسم می‌گردد. آنوریسم مشاهده شده در تحقیق حاضر در واقع مربوط به تخریب سلول‌های پیلار در نتیجه اثر آلاینده بر شدت جریان خون یا اثر مستقیم آلاینده‌ها بر آبشنش می‌باشد (17). پرخونی یک مکانیسم دفاعی است که موجب کاهش فضای بین تیغه‌ها، اتصال تیغه‌های مجاور، کاهش آسیب‌پذیری آبشنش در برابر نفوذ آلاینده‌ها از طریق اپیتیلیوم می‌شود. Huarong و همکارانش (2010) در بررسی اثر بوتاکلر بر آبشنش یک آسیب بافتی گزارش دادند (13). استرس نفوذ آلاینده‌ها از سوی دیگر موجب القاء هیپرپلازی سلول‌های اپیتیلیومی و به هم چسبیدن متعاقب تیغه‌های آبشنشی می‌شود. اتصال تیغه‌ها به یکدیگر، با وجود کاهش کیفیت فعالیت آبشنش، موجب افزایش فاصله بین محیط خارج و خون شده، یک سد دفاعی جهت جلوگیری از نفوذ بیشتر آلاینده‌ها به بدن ماهی و کاهش عوارض آسیب‌زننده آن‌ها ایجاد می‌کند Oliviera Riberio et al., 2005 (Riberio و همکاران (2005) در بررسی تاثیرات آفت‌کش‌ها و هیدرکربن‌های نفتی بر آبشنش مار ماهی و Santos و همکاران (2011) در بررسی اثر نفتالن بر آبشنش ماهی Trachinotus carolinus، Mazon و Fernandes هیپرپلازی را گزارش نمودند. هیپرپلازی را گزارش نمودند.

خط طلایی که در معرض شکوفایی حاد و تحت حاد جلبک *Chattonella marina* (از گونه های ایجاد کننده کشنده قرمز) قرار داشتند، تکثیر سلول های کلراید در اپیتلیوم آبشش این ماهیان در طی چند ساعت پس از بلووم (شکوفایی) جلبک و در نهایت مرگ و میر ماهیان به مدت کوتاهی پس از آن مشاهده شد (4). افزایش تعداد سلول های موکوسی و در نتیجه افزایش ترشحات موکوسی به عنوان سدی محافظی جهت محدود کردن جذب آلاینده ها و سموم عمل می کند، ولی خود منجر به کاهش تبادل گاز های تنفسی و هیپوکسی می شود (15).

افزایش تعداد (هیپرپلازی) و حجم (هیپرتروفی) سلول های کلراید در مواجهه با آلاینده ها یک مکانیسم دفاعی در جهت حفظ تعادل اسمزی می باشد (11). بدیهی است که غلظت های بالای مواد سمی، به ویژه استرسورهای (محركهای) یونی، بر تعداد سلول های که در فرآیند تنظیم اسمزی نقش دارند (مانند سلول های کلراید)، اثر دارند (11). *jesso* و همکاران *Gambusia holbrooki* گزارش نمودند که تعداد سلول های کلراید و اندازه دهانه راسی آن ها پس از 14 روز قرار گرفتن در معرض جیوه، افزایش معنی داری نسبت به گروه شاهد یافته بود (14). همچنین در ماهی شانک

نتیجه گیری کلی

در مجموع می توان گفت، تغییرات پاتولوژیکی آبشش، نتیجه اثر مستقیم آلاینده ها است و یک شاخص کیفی خوب و مطمئن برای نشان دادن استرس ناشی از ورود سطوح پایین این آلاینده ها به محیط زیست ماهی ها محسوب می شود. همچنین با توجه به نتایج به دست آمده در تحقیق حاضر، می توان بیان نمود که میزان آلودگی با فناتنرن دارای ارتباط مستقیمی با تعداد سلول های موکوسی و کلراید بوده و با افزایش غلظت آن، تعداد این سلول ها به طور معنی داری افزایش می یابد.

منابع:

1. Abou-seedo, F.S., S. Dazie and K.A. Al-Kanaan. 2003. Sexuality, sex change and matyration patterns in yellowfin seabream, *Acanthopagrus latus* (Teleosti: Sparidae) (Houttuyn, 1782). *Journal of Applied Ichthyology* 19:95-73.
2. Adams, S. M. 2002. Biological indicators of equatic ecosystem etress: intruductin and overview. pp. 1-12, In: S. M. Adams (ed.), Biological indicators of equatic ecosystem etress. American Fisheries Society, Bethesda, MD.
3. Al-Hassan, J. M., M. Afzal, C.V.N. Rao and S. Fayad. 2003. Polycyclic Aromatic Hydrocarbons (PAHs) and Aliphatic Hydrocarbons (AHs) in Edible fish from the Arabian Gulf. *Bulletin of Environmental Contamination and Toxicology* 70: 205-212.
4. Au, D.W.T. 2004. The application of histo-cytopathological biomarkers in marine Pollution monitoring: a review. *Marine Pollution Bulletin* 48: 817–834
5. Camargo, M.M.P. and C.B.R. Martinez. 2007. Histopathology of gills, kidney and liver of a neotropical fish caged in an urban stream. *Neotropical Ichthyology* 5: 327-336.
6. Cocchieri, R.A., A. Arnese and A.M. Minicucci. 1990 Polycyclic aromatic hydrocarbons in marine organisms from Italian central Mediterranean coasts. *Marine Pollution Bulletin* 21: 15–18.
7. Datta, M. and A. Kaviraj. 2002. Acute toxicity of synthetic pyrethroid deltamethrin to freshwater catfish *Clarias gariepinus*. *Bulletin of Environmental Contamination and Toxicology* 70: 296-299.
8. Devlin, E.W. 2006. Acute toxicity, uptake and histopathology of aqueous methyl mercury to fathead minnow embryos. *Ecotoxicology* 15: 97-110.
9. Evans, D.H. and J.B. Claiborne. 2006. The physiology of fishes. CRC.
10. Fernandes, M.N. and A.F. Mazon. 2003. Environmental Pollution and Fish Gill Morphology. pp.203-231, In: A.L. Val and B.G. Kapoor, (eds.), Fish Adaptation. Science Publishers, Enfield.
11. Giari, L., M. Manera, E. Simoni and B.S. Dezfuli BS. 2007. Cellular alterations in different organs of European sea bass *Dicentrarchus labrax* (L.) exposed to cadmium. *Chemosphere* 67: 1171–1181.
12. Hemalatha, S. and T.K. Banerjee. 1997. Histopathological analysis of sublethal toxicity of zinc chloride to the respiratory organs of the air breathing catfish, *Heteropnuestes fossilis* (Bloch). *Biological Research* 30: 11-21.
13. Huarong, G., Y. Licheng, Z. Shicui and F. Wenrong. 2010. The toxic mechanism of high lethality of herbicide butachlor in marine flatfish flounder (*Paralichthys olivaceus*). *Oceanic and Coastal Sea Research* 9: 257-264.
14. Jagoe, C.H., A. Faivre and M.C. Newman. 1996. Morphological and morphometric changes in the gills of Mosquitofish (*Gambusia holbrookii*) after exposure to mercury (II). *Aquatic Toxicology* 34: 163–183.

15. Khan, N.Y., M.P. Munwar and A.R.G. Price. 2002. Physical and human geography. pp. 3-21, In: The Gulf system: Health and Sustainability. Bakhuys Publishers, Leiden.
16. Mallatt, J. 1985. Fish gill structural changes induced by toxicants and other irritants: A statistical review. *Canadian Journal of Fisheries and Aquatic Science* 42: 630-648.
17. Martinez, C.B.R., M.Y. Nagae, C.T.B.V. Zaia and D.A.M. Zaia. 2004. Morphological and physiological acute effects of lead in the neotropical fish *Prochilodus lineatus*. *Brazilian Journal of Biology* 64 (4): 797-807.
18. Mela, M., M.F.A. Randia, D.F. Venturba, C.E.V. Carvalhoc, E. Pelletierd and C.A. Oliveira Riberto. 2007. Effects of dietary methylmercury on liver and kidney histology in the neotropical fish *Hoplias malabaricus*. *Ecotoxicology and Environmental Safety* 68: 426-435.
19. Oliveira Riberio C.A., E. Pelletier, W.C. Pfeiffer and C. Rouleau. 2000. Comparative gill damages and bioaccumulation of inorganic mercury on Tropical and Nordic freshwater fish. *Environmental Research* 83: 286-292.
20. Poleksic, V. and V. Mitrovic-Tutundzic. 1994. Fish gills as a monitor of sublethal and chronic effects of pollution. pp. 339-352, In: Muller, R. and R. Loyd (eds.), Sublethal and chronic effects of pollutants on freshwater fish. Cambridge: Cambridge Univ. Press.
21. Rastgar S., A.A. Movahedinia and Z. Yarahmadi. 2015. Effects of Benz o- α -Pyren exposure stress on the gill histology and plasma levels of cortisol in Yellowfin Seabream, *Acanthopagrus latus*. *Journal of Animal Researches* 28(2): 161-169.
22. Schlenk, D. and W.H. Benson. 2001. Target organ toxicity in marine and freshwater teleosts: Organ, CRC 34: 98-109.
23. Wood, C.M. 2001. Toxic responses of the gill. pp. 1-89, In: Schlenk, D. and W. H. Benson (eds.), Target Organ Toxicity in Marine and Freshwater Teleosts. London: Taylor and Francis.